

Starkniederschlagshöhen und -spenden gemäß KOSTRA-DWD-2010R

Auswertungszeitraum von 1951 - 2010, Januar - Dezember

Rasterfeld: 52008

Zeile: 52

Spalte: 8

Seite: 1/2

| Dauerstufe D | Wiederkehrzeit T | | | | | | | | | | | | | | | | | | |
|--------------|------------------|------|------------|------|------------|------|------------|------|------------|------|------------|------|------------|------|------------|------|------------|------|------------|
| | 1 a | | 2 a | | 3 a | | 5 a | | 10 a | | 20 a | | 30 a | | 50 a | | 100 a | | |
| min | Std | mm | l / (s ha) | mm | l / (s ha) | mm | l / (s ha) | mm | l / (s ha) | mm | l / (s ha) | mm | l / (s ha) | mm | l / (s ha) | mm | l / (s ha) | mm | l / (s ha) |
| 5 | | 4,8 | 160,0 | 6,2 | 206,7 | 7,1 | 236,7 | 8,2 | 273,3 | 9,7 | 323,3 | 11,2 | 373,3 | 12,1 | 403,3 | 13,2 | 440,0 | 14,7 | 490,0 |
| 10 | | 7,6 | 126,7 | 9,7 | 161,7 | 10,9 | 181,7 | 12,4 | 206,7 | 14,5 | 241,7 | 16,5 | 275,0 | 17,7 | 295,0 | 19,3 | 321,7 | 21,3 | 355,0 |
| 15 | | 9,5 | 105,6 | 12,0 | 133,3 | 13,5 | 150,0 | 15,3 | 170,0 | 17,8 | 197,8 | 20,3 | 225,6 | 21,8 | 242,2 | 23,6 | 262,2 | 26,1 | 290,0 |
| 20 | | 10,9 | 90,8 | 13,7 | 114,2 | 15,4 | 128,3 | 17,5 | 145,8 | 20,3 | 169,2 | 23,2 | 193,3 | 24,9 | 207,5 | 27,0 | 225,0 | 29,8 | 248,3 |
| 30 | | 12,7 | 70,6 | 16,1 | 89,4 | 18,1 | 100,6 | 20,7 | 115,0 | 24,1 | 133,9 | 27,6 | 153,3 | 29,6 | 164,4 | 32,2 | 178,9 | 35,6 | 197,8 |
| 45 | | 14,2 | 52,6 | 18,4 | 68,1 | 20,9 | 77,4 | 23,9 | 88,5 | 28,1 | 104,1 | 32,3 | 119,6 | 34,7 | 128,5 | 37,8 | 140,0 | 42,0 | 155,6 |
| 60 | | 15,2 | 42,2 | 20,0 | 55,6 | 22,8 | 63,3 | 26,3 | 73,1 | 31,0 | 86,1 | 35,8 | 99,4 | 38,6 | 107,2 | 42,1 | 116,9 | 46,9 | 130,3 |
| 90 | | 16,7 | 30,9 | 21,7 | 40,2 | 24,6 | 45,6 | 28,3 | 52,4 | 33,3 | 61,7 | 38,3 | 70,9 | 41,3 | 76,5 | 45,0 | 83,3 | 50,0 | 92,6 |
| 120 | 2 | 17,8 | 24,7 | 23,0 | 31,9 | 26,0 | 36,1 | 29,9 | 41,5 | 35,0 | 48,6 | 40,2 | 55,8 | 43,3 | 60,1 | 47,1 | 65,4 | 52,3 | 72,6 |
| 180 | 3 | 19,5 | 18,1 | 25,0 | 23,1 | 28,2 | 26,1 | 32,2 | 29,8 | 37,6 | 34,8 | 43,1 | 39,9 | 46,3 | 42,9 | 50,3 | 46,6 | 55,7 | 51,6 |
| 240 | 4 | 20,9 | 14,5 | 26,5 | 18,4 | 29,8 | 20,7 | 34,0 | 23,6 | 39,6 | 27,5 | 45,3 | 31,5 | 48,6 | 33,8 | 52,7 | 36,6 | 58,4 | 40,6 |
| 360 | 6 | 22,9 | 10,6 | 28,8 | 13,3 | 32,3 | 15,0 | 36,6 | 16,9 | 42,6 | 19,7 | 48,5 | 22,5 | 52,0 | 24,1 | 56,3 | 26,1 | 62,3 | 28,8 |
| 540 | 9 | 25,1 | 7,7 | 31,3 | 9,7 | 35,0 | 10,8 | 39,6 | 12,2 | 45,8 | 14,1 | 52,0 | 16,0 | 55,7 | 17,2 | 60,2 | 18,6 | 66,5 | 20,5 |
| 720 | 12 | 26,8 | 6,2 | 33,3 | 7,7 | 37,0 | 8,6 | 41,8 | 9,7 | 48,2 | 11,2 | 54,7 | 12,7 | 58,4 | 13,5 | 63,2 | 14,6 | 69,6 | 16,1 |
| 1080 | 18 | 29,4 | 4,5 | 36,2 | 5,6 | 40,1 | 6,2 | 45,1 | 7,0 | 51,9 | 8,0 | 58,7 | 9,1 | 62,6 | 9,7 | 67,6 | 10,4 | 74,4 | 11,5 |
| 1440 | 24 | 31,4 | 3,6 | 38,4 | 4,4 | 42,5 | 4,9 | 47,7 | 5,5 | 54,7 | 6,3 | 61,7 | 7,1 | 65,8 | 7,6 | 71,0 | 8,2 | 78,0 | 9,0 |
| 2880 | 48 | 39,2 | 2,3 | 46,8 | 2,7 | 51,2 | 3,0 | 56,8 | 3,3 | 64,4 | 3,7 | 72,0 | 4,2 | 76,5 | 4,4 | 82,1 | 4,8 | 89,7 | 5,2 |
| 4320 | 72 | 44,6 | 1,7 | 52,5 | 2,0 | 57,2 | 2,2 | 63,1 | 2,4 | 71,0 | 2,7 | 78,9 | 3,0 | 83,6 | 3,2 | 89,5 | 3,5 | 97,4 | 3,8 |

Angaben in mm: Bemessungsniederschlagswerte h(n)

Angaben in l / (s ha): Regenspende R(n) mit $R(n) = h(n) \times 1,666667 / D[\text{min}]$

Toleranzbereiche:

+/- 10 % für $1 \text{ a} \leq T \leq 5 \text{ a}$

+/- 15 % für $5 \text{ a} < T \leq 50 \text{ a}$

+/- 20 % für $50 \text{ a} < T \leq 100 \text{ a}$

Datenbasis: KOSTRA-DWD-2010R des Deutschen Wetterdienstes. Die Regenspende wurde auf Basis des Bemessungsniederschlags zur jeweiligen Andauer berechnet.

Für die Richtigkeit und Aktualität der Angaben wird keine Gewähr übernommen. Erstellt 07/2022.

Starkniederschlagshöhen und -spenden gemäß KOSTRA-DWD-2010R

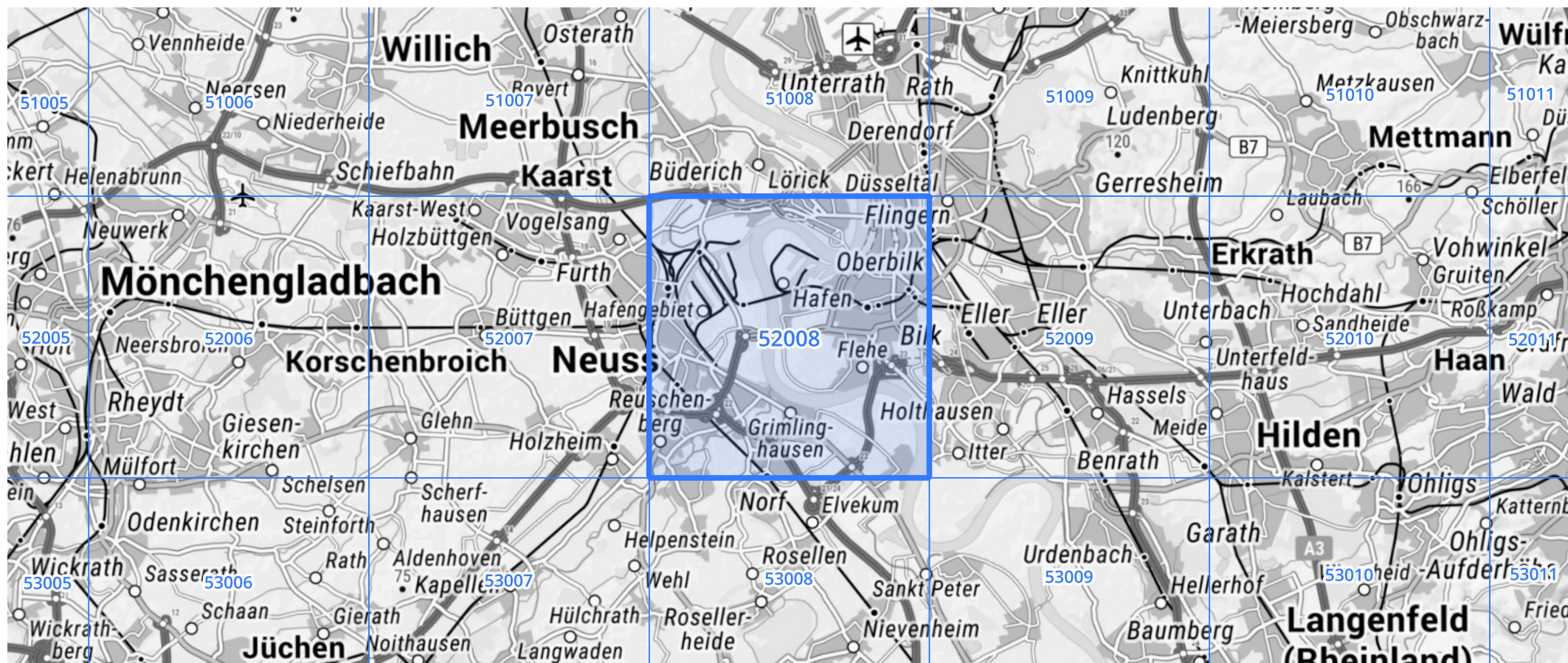
Auswertungszeitraum von 1951 - 2010, Januar - Dezember

Rasterfeld: 52008

Zeile: 52

Spalte: 8

Seite: 2/2



Quelle Rasterdaten: KOSTRA-DWD-2010R des Deutschen Wetterdienstes.

Kartendarstellung: © Bundesamt für Kartographie und Geodäsie (2022), Datenquellen: https://sgx.geodatenzentrum.de/web_public/gdz/datenquellen/Datenquellen_TopPlusOpen.html

Für die Richtigkeit und Aktualität der Angaben wird keine Gewähr übernommen. Erstellt 07/2022.